

유연성을 갖는 토보트 매니퓰레이터
PI End-point 제어

정 구진*, 배 준경, 김승록, 박종국
정희 대학교 전자공학과 자동제어 연구실

PI End-point Control of the Compliant robot manipulator

Gu-jin Chung*, Jun-kyung Bae, Sung-lock Kim, Chong-kuk Park
Automatic Control Lab., Dept. of Electronic Eng., Kyung Hee Univ.

Abstract

The performance of conventional robot arms is inhibited by trade-off between speed and accuracy. Because these systems measure only joint angles, in spite of slow speed, they must rely on a stiff structure in order to attain positioning accuracy. Lightweight links would allow faster motion, but their flexibility would also produce positioning errors. This research is involved with the development and evaluation of an End-point Control System whose major goal is to compensate for link deflections and thus mitigate the speed versus accuracy conflict in conventional manipulator.

1. 서 론

지난 10여년 동안 컴퓨터 기술의 발달은 제어 시스템의 이론과 실재에 있어서 많은 발전을 가져왔으며, 특히 토보트 분야는 눈부신 발전을 하였다. 실질적으로 토보트가 어떤 산업에 응용됨에 따라 중요시 고려되는 것은 빠른 속도와 높은 정확도를 유지하는 것이다. 그러나 기존의 토보트 제어에서는 단단한 링크에 가정한 조인트 각만을 측정함으로써 속도와 정확도 사이의 불협화적인 관계를 발생시켰다.

본 논문에서는 이러한 관계를 개선하고 좋은 효과를 얻기 위하여 직각 좌표계에서 직교환시키는 End-point 제어방식을 선택하였고 선형 제어이론을 적용한 PI 제어기를 설계하였다.[4] 그리고 두개의 유연한 링크를 갖는 유연성 구조(Compliant structure)의 토보트 매니퓰레이터에 적용하여 단단한 링크를 갖는 강성 구조(Stiff structure)의 토보트 매니퓰레이터와 비교하여 모의실험을 하였다.

2. 역학 모델링

두개의 유연한 링크를 갖는 토보트 매니퓰레이터 모델은 평면운동의 제약을 갖는 두개의 링크로 구성되는 Physical 모델과 Physical 메카니즘의 원리에 의하여 개발된 Analytic 모델로 분류하여 해석할 수 있다.

2.1 Physical 모델

Physical 모델은 두개의 링크와 평면의 메카니즘으로 되어있고 각 링크는 유연성을 갖는다 또한 End-effector가 물체를 잡을 때의 기하학은 그 질량과 재질의 영향을 받으므로 현실적이고 충분한 유연성을 갖는 변수로 선택해야 한다.

2.2 Analytic 모델

Physical 모델을 분석하여 컴퓨터 모의실험에 적당하도록 모델변수를 결정하고 강성 구조의 모델에 휨작용량을 첨가함으로써 역학 방정식을 구성한다

2.2.1 강체 동역학 모델

대체로 토보트 팔의 동작은 링크의 휨작용을 무시하는 역학모델에 의하여 결정되고 토보트 동작의 메카니즘에 뉴우튼-오일리 방정식을 적용하여 Brady의 맥니 접근방법으로 입과 모멘트를 구한다.[3]

강체 역학 방정식은 다음과 같다.

$$\sum f_i = m_i \ddot{x}_i \quad (1)$$

$$\sum n_i = I_i \dot{\theta}_i + \dot{\theta}_i x_i \dot{\theta}_i \quad (2)$$

여기서 I_i 는 관성행렬이다.

그리므로 뉴우튼-오일리 방정식을 구하면 다음과 같다

$$m_1 \ddot{f}_1 = f_{1x} - f_{1z} + m_1 g \quad (3)$$

$$m_2 \ddot{f}_2 = f_{2x} - f_{2z} + m_2 g \quad (4)$$

$$m_3 \ddot{f}_3 = f_{3x} - f_{3z} + m_3 g \quad (5)$$

$$I_1 \ddot{\theta}_1 = n_{1x} - n_{1z} - (p_1^* + r_1^*) x f_{1x} + r_1^* x f_{1z} \quad (6)$$

$$I_2 \ddot{\theta}_2 = n_{2x} - n_{2z} - (p_2^* + r_2^*) x f_{2x} + r_2^* x f_{2z} \quad (7)$$

$$I_3 \ddot{\theta}_3 = n_{3x} \quad (8)$$

결과적으로 경합된 미분 방정식은 다음과 같이 구할 수 있다. [2]

$$\begin{aligned} n_{1x} &= \dot{\theta}_1 [I_1 + I_2 + m_1 l_1 \cos(\theta) + (m_1 l_1^2 + m_1 l_1^2)/4 + m_1 l_1^2 + 2m_1 l_1 \cos(\theta) + m_1 l_1^2 + m_1 l_1^2] + \dot{\theta}_2 [I_2 + I_3 + m_1 l_1^2/4 + m_1 l_1^2, l_2/2\cos(\theta) + m_1 l_1 \cos(\theta) + m_1 l_1^2] + \dot{\theta}_3 [-m_1 l_1, l_2/2\sin(\theta) - m_1 l_1 \sin(\theta)] + \dot{\theta}_1 [-m_1 l_1, l_2 \sin(\theta) - 2m_1 l_1 \sin(\theta)] + g[m_1 l_1/2\cos(\theta + \theta_0) + 1(m_1/2 + m_2) \cos(\theta) + m_1 l_1 \cos(\theta) + m_1 l_1 \cos(\theta + \theta_0)] \quad (9) \end{aligned}$$

$$\begin{aligned} n_{2x} &= \dot{\theta}_1 [I_1 + I_2 + m_1 l_1 \cos(\theta) + m_1 l_1^2/4 + m_1 l_1^2, l_2 \cos(\theta) + m_1 l_1^2] + \dot{\theta}_2 [I_2 + I_3 + m_1 l_1^2/4 + m_1 l_1^2, l_2/2\sin(\theta) + m_1 l_1 \sin(\theta)] + g[m_1 l_1 \cos(\theta + \theta_0)] \quad (10) \end{aligned}$$

2.2.2 유체 동역학 모델

대개 보보트 팔의 동작은 강체 동역학 모델에 의하여 형성된다. 매니퓰레이터의 링크는 가속도로부터 생기는 힘과 모멘트, 중력 그리고 관성력에 따르고 이러한 힘과 모멘트는 링크의 힘작용을 결정한다. 본 연구에서 선택된 유연성 구조의 모델은 준 정지상태 시각(Quasi-static-vision)에서 논의된다. 이러한 준 정지상태의 모델은 강체 시스템의 대역폭 보다 넓은 대역폭을 가진 시스템으로써의 링크를 나타낸다.

따라서 보보트 매니퓰레이터의 각 링크는 다음과 같은 힘과 모멘트의 영향으로 유연성을 갖는다. [1], [8]

$$nri = n_{1x} - i - l_{cdi} \ddot{\theta}_i \quad (11)$$

$$nli = l_{ci} \dot{\theta}_{i-1} - n_{i-1} \quad (12)$$

$$wgi = m_{ci} g / l_i \cos(\theta_i) \quad (13)$$

$$wti = m_{ci} / l_i \ddot{\theta}_{transi} \quad (14)$$

$$wri = m_{ci} \ddot{\theta}_i \quad (15)$$

nri, fri: 링크의 시작점에 적용된 구동기의 토오르와 힘
nli, fli: 링크의 끝점에 적용된 구동기의 토오르와 힘

wgi: 링크의 질량에 의하여 생기는 중력부하
wti: 관성부하

wri: 선형적으로 증가된 관성부하

$\ddot{\theta}_{transi}$: transverse 가속도

$$\ddot{\theta}_{transi} = 0$$

$$\ddot{\theta}_{transi} = 1/2 \sin(\theta) + \dot{\theta} \cos(\theta)$$

fri는 링크의 유연성이 영향을 주지 않는다.

$$fli = -1/l_i (nri + nli + wgi/l_i^2/2 + wti/l_i^2/2 + wri/l_i^2/3) \quad (16)$$

각 부하에 의하여 발생하는 힘작용 항을 구하면 다음과 같다.

$$Y_{maxfli} = fli/3EIi \quad (17)$$

$$Y_{maxnli} = nli/l_i^2/2EIi \quad (18)$$

$$Y_{maxwti} = wti/l_i^2/8EIi \quad (19)$$

$$Y_{maxwgi} = wgi/l_i^2/8EIi \quad (20)$$

$$Y_{maxwri} = wri/l_i^2/210EIi \quad (21)$$

따라서 전체 힘작용 항을 식 22와 같이 구할 수 있고 이러한 힘작용을 조인트 설동각으로 변환시킨면 식 23과 같다.

$$Y_{maxi} = Y_{maxfli} + Y_{maxnli} + Y_{maxwti} + Y_{maxwgi} + Y_{maxwri} \quad (22)$$

$$\Delta \theta_i = \arctan(Y_{maxi}/l_i) \quad (23)$$

그리므로 조인트 설동각으로의 변환은 강체 동역학 모델에 쉽게 할 수 있다.

$$\theta_{eff} = \theta_i + \Delta \theta_i \quad (24)$$

따라서 유연성을 갖는 보보트 팔의 End-effector의 위치를 결정하기 위하여 정역학관계를 이용하면 다음과 같이 구할 수 있다.

$$X = f(\theta_{eff}) \quad (25)$$

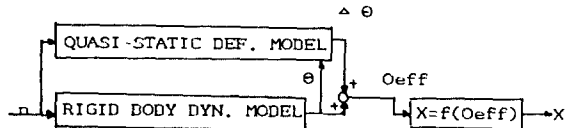


그림 2.1 모델 블럭 선도

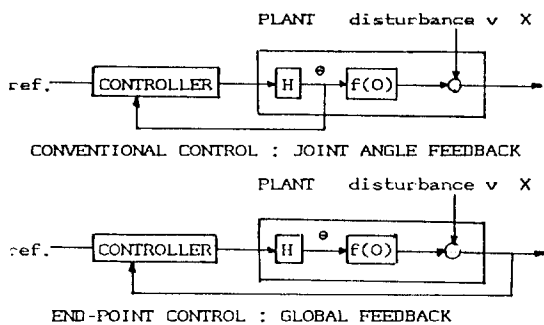
3. End-point 제어와 제어기 설계

3.1 End-Point 제어

대부분의 보보트 연구에서 조인트 각을 측정함으로써 발생하는 불협적인 관계를 감소시키는 제어개념이 End-Point 제어이다.

기존의 보보트 팔의 설계는 매니퓰레이터가 강체라고 가정할 때 속도와 정확도 사이의 불협적인 관계를 유발한다. 그러한 보보트 시스템은 조인트 각을 측정한 후 End-effector의 정확한 직각 좌표계의 위치를 결정하기 위하여 강체 구조(stiff structure)를 이용한다. 이것은 링크의 질량이 커짐으로써 보보트의 동작 속도가 느려지고 또한 속도를 최대로 높인다고 가정할 때 그 링크의 설계는 강도에 의하여 이파란 제약을 받게 될 것이다. 그러나 유연한 구조(compliant-structure)를 이루는 보보트 시스템은 가벼운 링크로 구성되어 빠른 동작은 취할 수 있으나 유연성을 갖음으로써 조인트 각만으로는 End-effector의 정확한 위치를 지시할 수 없다. 이러한 결점을 보완하고 End-effector 전체적인 직각 좌표계 위치를 적재판시기는 제어가 End-Point 제어이다. [4], [7]

End-Point 제어와 기준의 조인트 각 케환제어 와의 차이점은 다음의 블록선도와 같다.



3.2 PI 제어기 설계

기준의 토보드 매니퓰레이터에 사용하고 있는 제어기는 일반적으로 강체 운동만을 제어하기 위하여 쉽게 되어있다. 위의 강체 역학 방정식에서는 비선형 항을 무시하지만 매니퓰레이터가 고속으로 움직일 때 유연성을 갖는 토보드 시스템에서는 무시된 비선형 항은 매우 중요하다.

본 절에서는 End-point 케환 제어방식을 선택 하므로써 전향 역학관계에 의하여 조인트 벡터 θ 를 End-effector의 위치벡터 x 로 변환시킨 직각 좌표계 공간에서 역학 방정식을 제어하는 선형 제어 시스템을 설계한다. [5]

일반적인 강체의 결합된 비선형 미분 방정식은 다음과 같다.

$$M(\theta)\ddot{\theta} + N(\theta, \dot{\theta}) + G(\theta) = T \quad (26)$$

여기서 $M(\theta)$ 는 관성행렬

$N(\theta, \dot{\theta})$ 는 coriolis & centrifugal 토크

$G(\theta)$ 는 중력 토크

이러한 역학 방정식에 유연성을 갖는 토보드 시스템의 힘작용량을 첨가한 토크 벡터를 구하는 방정식은 식27과 같다.

$$M(\theta + \Delta\theta)(\ddot{\theta} + \Delta\ddot{\theta}) + N(\theta + \Delta\theta, \dot{\theta} + \Delta\dot{\theta}) + G(\theta + \Delta\theta) = T \quad (27)$$

여기서 $\Delta\theta$ 는 조인트의 힘 작용각이고 $\theta + \Delta\theta$ 를 θ_{eff} 로 놓으면 식27은 식28과 같다.

$$M(\theta_{eff})(\ddot{\theta}_{eff}) + N(\theta_{eff}, \dot{\theta}_{eff}) + g(\theta_{eff}) = T \quad (28)$$

그리고 위의 식28을 Jacobian 행렬을 이용하여 직각 좌표계로 변환시키면 다음과 같다.

$$Mx\ddot{x} + Nx\ddot{x} + Gx = F \quad (29)$$

그러므로 토보드 시스템 상태 방정식은 식30과 같이 구할 수 있다.

$$\begin{bmatrix} \ddot{x} \\ \ddot{y} \\ \ddot{z} \end{bmatrix} = \begin{bmatrix} 0 & I \\ -MxGx & -MxNx \end{bmatrix} \begin{bmatrix} x \\ y \\ z \end{bmatrix} + \begin{bmatrix} 0 \\ Mx \end{bmatrix} F \quad (30)$$

그리고 기준입력 위치와 속도, 가속도를 선택한 PI 제어기를 구성하는 제어 법칙을 구하면 다음과 같다.

$$\ddot{x} = K_p e + K_i \int e dt + Mx\ddot{x}_{ref} + Nx\ddot{x}_{ref} + Gx\ddot{x}_{ref} \quad (31)$$

$$Mx\ddot{e} + Nx\ddot{e} + (Gx + K_p)e + K_i \int e dt = 0 \quad (32)$$

여기서 $\ddot{e} = \ddot{x} - \ddot{x}_{ref}$, $e = x - x_{ref}$ 이다.

또한 케환 제어기를 결정하기 위하여 3차 미분 방정식으로 분리시키는 오차 미분방정식을 식33과 같이 놓는다. [6]

$$\ddot{e} + D_1\ddot{e} + D_2\dot{e} + D_3e = 0 \quad (33)$$

그리므로 제어기 이득행렬은 다음과 같이 구할 수 있다.

$$K_p = Mx D_2 - Gx \quad (34)$$

$$K_i = Mx D_3 \quad (35)$$

여기서 D_1, D_2, D_3 는 케환 이득행렬을 결정하기 위한 추적 오차이다.

4. 모의실험 및 고찰

모의실험의 목적은 강성구조를 갖는 매니퓰레이터와 비교하여 유연한 구조를 갖는 매니퓰레이터의 속도와 정확도의 관계를 나타내는데 있다.

모의실험에 사용한 상수 값은 다음과 같다
중력 $G=9.8$

첫번째 링크의 기준 위치각 $\theta_{ref}(1) = 90$

두번째 링크의 기준 위치각 $\theta_{ref}(2) = 45$

첫번째 링크의 기준 위치 $x_{ref}(1) = -0.42426$

두번째 링크의 기준 위치 $x_{ref}(2) = 1.074264$

첫번째 링크의 초기 위치각 $\theta_{ref}(1) = 88$

두번째 링크의 초기 위치각 $\theta_{ref}(2) = 43$

2. 절의 모델의 경우를 보면 제어기로 부터 얻은 방정식과 함께 수학적 표현이 매우 복잡하고 상호 결합된 비선형 방정식으로 주어진다는 것을 알 수 있다. 그리고 빠른 속도를 갖는 가벼운 토보드 팔은 링크의 번영을 발생시키므로 그러한 토보드 시스템은 힘작용을 보상하는 제어기와 가벼운 링크로 인하여 그림에서와 같이 정확도가 높고 그 속도가 빠르다는 것을 볼 수 있다. 즉 그림1-3을 보면 힘작용이 거의 일어나지 않는 조인트1에서 강체링크의 위치오차는 유연한 링크의 위치오차와 같아지고 힘작용이 일어나는 조인트2에서는 강체링크와 유연한 링크의 오차폭이 커지면서 점차 감소하며 수렴하는 것을 볼 수 있다. 또한 그림4-5에서 조인트1과 조인트2의 위치오차를 비교해 보면 조인트2에서의 위치오차가 조인트1에서 보다 작게 나타나므로 좋은 정확도를 보여주었고 속도오차의 경우, 그림6-9에서 볼 수 있듯이 토보드를 고려할 때 유연한 링크의 속도가 단단한 링크보다 빠르다는 것을 알 수 있다.

결과적으로 End-point 제어방식을 선택한 모의 실험을 통하여 유연성 구조의 토보드 매니퓰레이터와 강성구조 매니퓰레이터의 정확도와 속도 사이의 불협적인 관계가 개선되었음을 보여주었다.

5. 결 론

본 논문에서는 End-point 제어방식을 선택하였으나 강성구조(stiff structure) 만큼 정확도를 높여주어 기존의 속도와 정확도 사이의 불협적인 관계를 줄여주는데 그 목적이 있다.

신형 제어이론을 적용한 PI 제어기를 설계하여 모의실험을 함으로써 유연한 구조(compliant structure)를 갖는 매니퓰레이터를 강성구조를 갖는 매니퓰레이터와 비교하였다. 그 결과 빠른 속도를 유지하는 유연성을 갖는 토보드 매니퓰레이터도 강성구조를 갖는 토보드 매니퓰레이터의 정확도와 기의 갈음을 모의실험을 통하여 알 수 있었다. 즉 유연한 구조를 갖는 토보드 매니퓰레이터는 빠른 속도와 높은 정확도를 갖게되므로 기존의 토보드 시스템에서 발생하는 불협적인 관계를 줄이게 되었다.

앞으로의 과제는 유연한 구조의 토보드 매니퓰레이터를 더욱 효과적으로 제어할 수 있는 정밀한 제어기를 설계하므로써 위치에 대한 정확도를 한층 높이는데 있다.

참 고 문 헌

- [1] Wayne J.Book,"Control of Flexible Robot Arms IEEE Videoconferences: Robot Dynamics and Control
- [2] Wayne J.Book,"Recursive Lagrangian Dynamics of Flexible manipulator" The international journal of robotics research
- [3] Michle Bra : Robot Motion - Planing and motion
- [4] Robert H.Cannon,Jr.,Eric Schmitz,"Initial Experiments on the End-point Control of a Flexible One-Link Robot," The International Journal of Robotics Research,3,No.3(Fall 1984) pp.62-75
- [5] Timothy L.Jhonson,"Feedback Control" robot motion-planing and control
- [6] Huibert Kwakerneak : Linear Optimal Control System

- [7] Wayn J. Book,O.Maizza Neto, and D.E.Whitney, "Feedback Control of Two Beam,Two Joint Systems with Distributed Flexibility,"Transactions of ASME Journal of Dynamic Systems,Measurement, and control,pp.424-435

- [8] Steven Dubowsky,"The Dynamics and Control of Robot manipulators and Devices,"IEEE Videoconferences : Robot Dynamics and Control

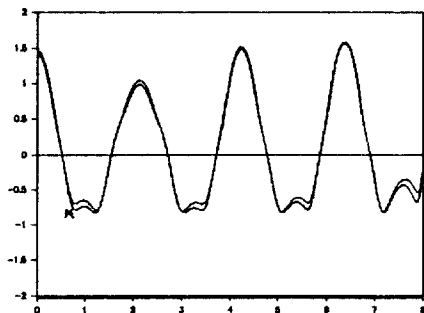


그림 1. 조인트 1. 에대한 위치오차

Exrd : 강성 구조의 위치오차

Ex*: 유연성 구조의 위치오차

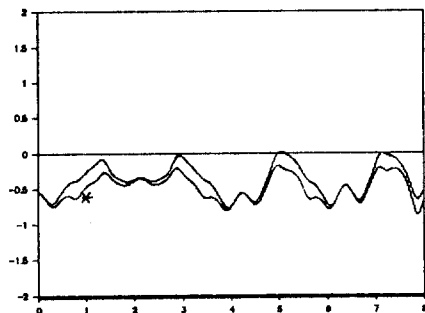


그림 2. 조인트 2. 에대한 위치오차

Exrd : 강성 구조의 위치오차

Ex*: 유연성 구조의 위치오차

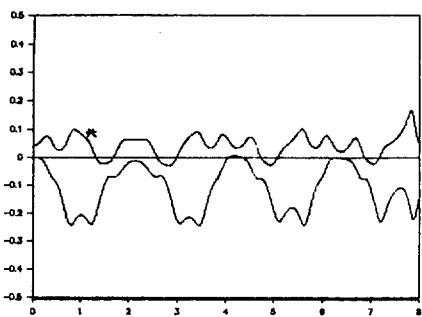


그림 3. Delta1 과 Delta2 의 비교

$\Delta 1^*$: 조인트 1. 에대한 강성구조의 위치오차
와 유연성 구조의 위치오차와의 차
 $\Delta 2$: 조인트 2. 에대한 강성구조의 위치오차
와 유연성 구조의 위치오차와의 차

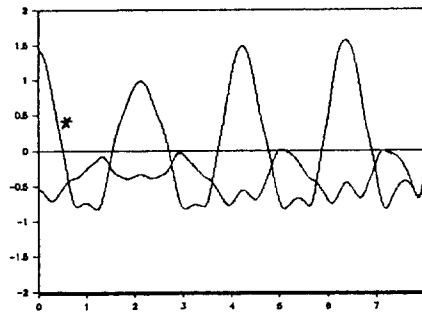


그림 4. 강성 구조의 위치오차

$Exrgd\ 1^*$: 조인트1.에대한 강성 구조의 위치오차
 $Exrgd\ 2$: 조인트2.에대한 강성 구조의 위치오차

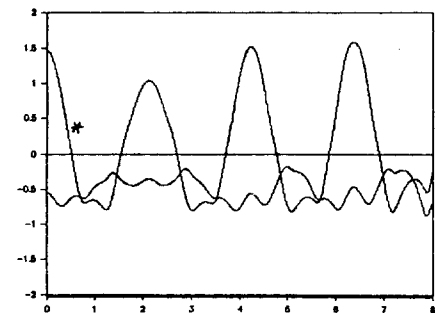


그림 5. 유연성 구조의 위치오차

$Ex\ 1^*$: 조인트1.에대한 유연성 구조의 위치오차
 $Ex\ 2$: 조인트2.에대한 유연성 구조의 위치오차

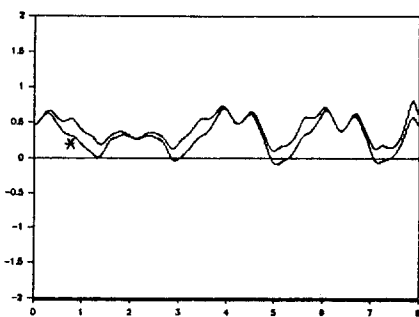


그림 6. 조인트 1. 에대한 속도오차

$Exrgdd$: 강성 구조의 속도오차
 Exd^* : 유연성 구조의 속도오차

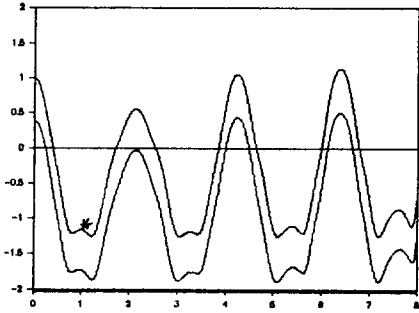


그림 7. 조인트 2. 에대한 속도오차

$Exrgdd$: 강성 구조의 속도오차
 Exd^* : 유연성 구조의 속도오차

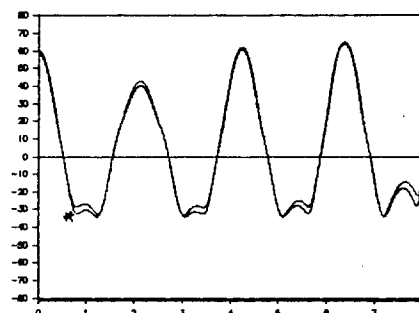


그림 8. 조인트 1. 에대한 입력 토오크

Tor^* : 유연성 구조의 입력 토오크
 $Torrsgd$: 강성 구조의 입력 토오크

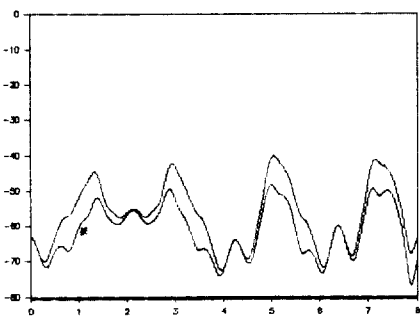


그림 9. 조인트 2. 에대한 입력 흐소그

Top*: 유연성 구조의 입력 흐소그

Tocegd : 강성 구조의 입력 흐소그